

Żabka

Wzdłuż bajtockiego strumyczka stoi n kamieni. Są one położone kolejno w odległościach $p_1 < p_2 < \dots < p_n$ od źródła strumyczka. Na jednym z tych kamieni stoi żabka, która właśnie ćwiczy się w skakaniu. W każdym skoku żabka skacze na k -ty najbliższy kamień (od kamienia, na którym siedzi). Dokładniej, jeżeli żabka w danej chwili siedzi na kamieniu w położeniu p_i , to po wykonaniu skoku będzie siedziała na takim kamieniu p_j , że:

$$\left| \{p_a : |p_a - p_i| < |p_j - p_i|\} \right| \leq k \quad \text{oraz} \quad \left| \{p_a : |p_a - p_i| \leq |p_j - p_i|\} \right| > k.$$

Pierwsza z powyższych nierówności oznacza, że liczba punktów $p_a \in \{p_1, p_2, \dots, p_n\}$, których odległość od punktu p_i jest mniejsza niż odległość między punktami p_i a p_j , jest nie większa niż k . Podobnie, druga z nierówności oznacza, że liczba punktów $p_a \in \{p_1, p_2, \dots, p_n\}$, których odległość od punktu p_i jest nie większa niż odległość między punktami p_i a p_j , jest większa niż k .

W przypadku, gdy istnieje więcej niż jedno takie p_j , żabka wybiera skrajnie lewą spośród takich pozycji. Na którym kamieniu żabka znajdzie się po wykonaniu m skoków, w zależności od tego, z którego kamienia zaczyna?

Wejście

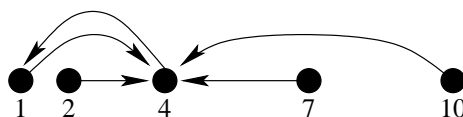
Pierwszy wiersz standardowego wejścia zawiera trzy liczby całkowite n , k oraz m ($1 \leq k < n \leq 1\,000\,000$, $1 \leq m \leq 10^{18}$), pooddzielane pojedynczymi odstępami i reprezentujące odpowiednio: liczbę kamieni, parametr skoku żabki oraz liczbę zaplanowanych skoków żabki. Drugi wiersz zawiera n liczb całkowitych p_j ($1 \leq p_1 < p_2 < \dots < p_n \leq 10^{18}$), pooddzielanych pojedynczymi odstępami i oznaczających położenia kolejnych kamieni wzdłuż strumyczka.

Wyjście

Twój program powinien wypisać na standardowe wyjście dokładnie jeden wiersz zawierający n liczb całkowitych r_1, r_2, \dots, r_n z przedziału $[1, n]$, pooddzielanych pojedynczymi odstępami. Liczba r_i oznacza numer kamienia, na którym żabka zakończy skakanie, jeśli rozpocznie je z kamienia o numerze i (zgodnie z kolejnością z wejścia).

Przykład

Dla danych wejściowych:
5 2 4
1 2 4 7 10
poprawnym wynikiem jest:
1 1 3 1 1



Na rysunku pokazano, jak żabka skacze z poszczególnych kamieni (w jednym skoku).

Rozwiązanie

Wprowadzenie

Rozwiązanie niniejszego zadania w naturalny sposób dzieli się na dwie części, z których pierwsza jest związana z parametrem k , a druga z parametrem m . W Fазie I dla każdego z kamieni p_1, p_2, \dots, p_n znajdujemy k -ty najbliższy mu kamień, co reprezentujemy za pomocą tablicy f :

$$f[i] = j \Leftrightarrow p_j \text{ to } k\text{-ty najbliższy kamień od kamienia } p_i. \quad (1)$$

Tablica f pokazuje zatem, jak żabka skacze z poszczególnych kamieni (w jednym skoku). W Fазie II dla każdego kamienia p_i sprawdzamy, gdzie żabka znajdzie się po wykonaniu m skoków, poczynawszy od tego kamienia, czyli obliczamy wartość:

$$f^m[i] = \underbrace{f[f[\dots f[i] \dots]]}_{m \text{ razy}}. \quad (2)$$

Widać wyraźnie, że podane fazy możemy rozpatrywać niezależnie. Dla każdej z nich omówimy sposób dojścia od najprostszego (a zarazem najmniej efektywnego) rozwiązania do algorytmu wchodzącego w skład rozwiązania wzorcowego.

W dalszym opisie kamień w położeniu p_i będziemy często nazywali po prostu i -tym kamieniem.

Faza I

Metoda 1a: złożoność czasowa $O(n^2 \log n)$

Aby obliczyć $f[i]$, czyli numer k -tego najbliższego kamienia od i -tego kamienia, możemy na przykład posortować wszystkie kamienie względem odległości od i -tego kamienia, po czym jako $f[i]$ przyjąć numer k -tego kamienia w tym porządku. W ogólności ten pomysł brzmi całkiem rozsądnie, ale musimy poświęcić chwilę na analizę dosyć technicznej definicji *k -tego najbliższego kamienia* z treści zadania, zwracając dodatkowo szczególną uwagę na remisy.

Spróbujmy zacząć od czysto intuicyjnego podejścia, ignorując skomplikowanie wyglądające nierówności z treści zadania. Niech t będzie tablicą złożoną z par postaci:

$$t = ((|p_j - p_i|, j) : j = 1, 2, \dots, n),$$

reprezentującą odległości wszystkich kamieni od i -tego kamienia. Załóżmy, że t jest uporządkowana rosnąco, przy czym pary są porównywane leksykograficznie po współrzędnych (tzn. porównywane w pierwszej kolejności po pierwszej współrzędnej, a w razie remisu — po drugiej). Zauważmy, że w przypadku równych pierwszych współrzędnych para reprezentująca kamień położony bardziej na lewo znajduje się w tablicy wcześniej. Czy wówczas k -ty element posortowanej tablicy będzie wskazywał na kamień reprezentujący $f[i]$?

Odpowiedź na postawione pytanie jest negatywna, ale zaproponowane rozwiązanie nie jest bardzo odległe od poprawnego — musimy tylko dopracować kilka szczegółów.

Przede wszystkim wykluczmy z rozważań sam i -ty kamień: możemy go usunąć z tablicy t , a także wyeliminować z nierówności z zadania, otrzymując:

$$\begin{aligned} |\{p_a : a \neq i \wedge |p_a - p_i| < |p_j - p_i|\}| &< k \\ |\{p_a : a \neq i \wedge |p_a - p_i| \leq |p_j - p_i|\}| &\geq k. \end{aligned}$$

Kolejne spostrzeżenie jest takie, że w ustalonej odległości $d > 0$ od i -tego kamienia mogą znajdować się co najwyżej dwa inne kamienie: jeden po lewej, a drugi po prawej jego stronie. Zauważmy, że tylko skrajnie lewy spośród tych dwóch kamieni może wyznaczać wartość $f[i]$. W takim razie, wystąpienie skrajnie prawego w t możemy zastąpić wystąpieniem skrajnie lewego.

Niech teraz $t[k] = (|p_j - p_i|, j)$ będzie wystąpieniem j -tego kamienia w zmodyfikowanej w opisany sposób tablicy t . Wówczas

$$|\{p_a : a \neq i \wedge |p_a - p_i| < |p_j - p_i|\}| \in \{k-1, k-2\},$$

natomiast

$$|\{p_a : a \neq i \wedge |p_a - p_i| \leq |p_j - p_i|\}| \in \{k, k+1\},$$

przy czym dokładna wartość w każdym przypadku zależy od tego, czy jest to pierwsze (lub jedyne), czy drugie wystąpienie j -tego kamienia. To pokazuje, że $f[i] = j$.

Poniższy pseudokod ilustruje opisane podejście. Wykorzystujemy w nim procedurę sortującą tablicę t w czasie $O(n \log n)$, patrz np. książka [21]. Dostęp do poszczególnych elementów par w tablicy uzyskujemy za pomocą pól *first* oraz *second*. Zakładamy wreszcie możliwość umieszczania nowych elementów na końcu tablicy t (operacja *insert*), co możemy zaimplementować, używając odpowiednio dużej, statycznej tablicy oraz zmiennej reprezentującej liczbę zajętych początkowych pól. Dodajmy dla jasności, że t jest indeksowana od jedynki.

```

1: Algorytm 1a
2:   for  $i := 1$  to  $n$  do begin
3:      $t := \emptyset$ ;
4:     for  $j := 1$  to  $n$  do
5:       if  $j \neq i$  then  $t.insert((|p_j - p_i|, j))$ ;
6:      $sort(t)$ ;
7:     for  $j := 2$  to  $n - 1$  do
8:       if  $t[j].first = t[j-1].first$  then  $t[j] := t[j-1]$ ;
9:        $f[i] := t[k].second$ ;
10:    end
11:  return  $f$ ;
```

Złożoność czasowa Algorytmu 1a to $O(n^2 \log n)$.

Metoda 1b: złożoność czasowa $O(n \cdot k)$

Stosunkowo proste usprawnienie Metody 1a możemy uzyskać, jeśli zauważymy, że *im dalej od i -tego kamienia, tym odległości od niego są większe*. To oczywiste stwierdzenie

implikuje, że zawartość tablicy t otrzymujemy w wyniku scalenia dwóch następujących list, uporządkowanych względem odległości od kamienia p_i :

$$L_1 = ((p_i - p_{i-1}, i-1), \dots, (p_i - p_1, 1)) \quad \text{oraz} \quad L_2 = ((p_{i+1} - p_i, i+1), \dots, (p_n - p_i, n)).$$

Podczas scalania musimy pamiętać o tym, żeby w przypadku remisu do tablicy t wstawić dwie kopie skrajnie lewego spośród kamieni równoodległych od i -tego kamienia. Jeśli zauważymy, że list L_1 i L_2 nie musimy konstruować explicite (wystarczą nam dwa wskaźniki przemieszczające się po tablicy p wszystkich kamieni) oraz że scalanie możemy przerwać w momencie, gdy wynikowa lista ma już co najmniej k elementów, to otrzymamy algorytm o złożoności czasowej $O(n \cdot k)$.

```

1: Algorytm 1b
2:   for  $i := 1$  to  $n$  do begin
3:      $t := \emptyset$ ;
4:      $a := i - 1$ ;  $b := i + 1$ ;
5:     while  $(a \geq 1)$  and  $(b \leq n)$  and  $(size(t) < k)$  do begin
6:       if  $p_i - p_a < p_b - p_i$  then begin
7:         { Kamień  $a$  jest bliższy. }
8:          $t.insert((p_i - p_a, a))$ ;  $a := a - 1$ ;
9:       end else if  $p_i - p_a > p_b - p_i$  then begin
10:        { Kamień  $b$  jest bliższy. }
11:         $t.insert((p_b - p_i, b))$ ;  $b := b + 1$ ;
12:      end else begin
13:        { Mamy remis, więc dwukrotnie wstawiamy kamień  $a$ . }
14:         $t.insert((p_i - p_a, a))$ ;  $t.insert((p_i - p_a, a))$ ;
15:         $a := a - 1$ ;  $b := b + 1$ ;
16:      end
17:    end
18:    { Po jednej stronie zużyliśmy już wszystkie kamienie, }
19:    { po drugiej jeszcze nie. }
20:    while  $(a \geq 1)$  and  $(size(t) < k)$  do begin
21:       $t.insert((p_i - p_a, a))$ ;  $a := a - 1$ ;
22:    end
23:    while  $(b \leq n)$  and  $(size(t) < k)$  do begin
24:       $t.insert((p_b - p_i, b))$ ;  $b := b + 1$ ;
25:    end
26:     $f[i] := t[k].second$ ;
27:  end
28:  return  $f$ ;

```

Metoda 1c: złożoność czasowa $O(n \log n \log p_n)$

Metoda 1b jest efektywna, jeśli żabka postanawia wykonywać jedynie niezbyt długie skoki, tzn. wartość parametru k jest niewielka. Teraz opiszemy metodę, która spisuje się całkiem dobrze także, gdy k jest duże. Będzie ona oparta na wyszukiwaniu binarnym, i to niejdnym.

Możemy mianowicie rozpocząć wyznaczanie $j = f[i]$ od znalezienia wartości $d = |p_j - p_i|$. Innymi słowy, poszukujemy takiej granicznej wartości d , że w odległości nie większej niż d od i -tego kamienia znajduje się co najmniej k innych kamieni, ale w odległości nie większej niż $d - 1$ od i -tego kamienia jest już mniej niż k kamieni. Wartość d wyszukamy binarnie w przedziale $[1, p_n]$.

Pozostaje pytanie, jak wyznaczyć liczbę kamieni oddalonych od i -tego kamienia nie więcej niż o d . W tym celu ponownie stosujemy wyszukiwanie binarne (a nawet dwa), aby znaleźć numery skrajnych kamieni położonych po lewej i po prawej stronie i -tego kamienia, których odległości od tego kamienia nie przekraczają d .

Poniżej implementacja tej metody wyznaczania wartości d o złożoności czasowej $O(\log n \log p_n)$.

```

1: Algorytm 1c, wyznaczanie granicznej odległości  $d$ 
2:   function na_lewo( $i, odl$ )
3:   begin
4:      $lo' := 1$ ;  $hi' := i - 1$ ;
5:     while  $lo' < hi'$  do begin
6:        $s' := (lo' + hi') \text{ div } 2$ ;
7:       if  $p_i - p_{s'} \leq odl$  then  $hi' := s'$ 
8:       else  $lo' := s' + 1$ ;
9:     end
10:    return  $lo'$ ;
11:  end
12:
13:  function na_prawo( $i, odl$ )
14:    { Analogicznie do na_lewo. }
15:
16:  function oblicz_d( $i$ )
17:  begin
18:     $lo := 1$ ;  $hi := p_n$ 
19:    while  $lo < hi$  do begin
20:       $s := (lo + hi) \text{ div } 2$ ;
21:      if  $\text{na\_prawo}(i, s) - \text{na\_lewo}(i, s) \geq k$  then  $hi := s$ 
22:      else  $lo := s + 1$ ;
23:    end
24:    return  $lo$ ;
25:  end
    
```

Zauważmy na koniec, że znając wartość d , możemy jeszcze raz wywołać funkcje na_lewo i na_prawo , tym razem już z właściwym argumentem $odl = d$, i ze zwróconych przez nie wyników wybrać ten, który reprezentuje kamień położony dalej od i -tego (lub skrajnie lewy w przypadku remisu). Poprawność tego stwierdzenia wynika stąd, że jeśli odległości skrajnych kamieni od i -tego są różne, to $\text{na_prawo}(i, d) - \text{na_lewo}(i, d) = k$, a w przeciwnym przypadku ta różnica jest równa k lub $k + 1$. Stosowne dokończenie implementacji poniżej.

```

1: Algorytm 1c, dokończenie
2:   for  $i := 1$  to  $n$  do
    
```

```

3:  begin
4:     $d := \text{oblicz\_d}(i);$ 
5:     $a := \text{na\_lewo}(i, d);$   $b := \text{na\_prawo}(i, d);$ 
6:    if  $p_i - p_a \geq p_b - p_j$  then  $f[i] := a$ 
7:    else  $f[i] := b;$ 
8:  end
9:  return  $f;$ 

```

Złożoność czasowa Metody 1c to $O(n \log n \log p_n)$. Jest to już całkiem niezły wynik jak na ograniczenia z zadania: $n \leq 10^6$, $p_n \leq 10^{18}$. Niemniej jednak, także i ten rezultat jeszcze da się poprawić.

Metoda 1d: złożoność czasowa $O(n)$

W dotychczasowych rozwiązaniach wyznaczaliśmy jedynie k -te najbliższe kamienie; tym razem pójdziemy o krok dalej i przyjrzymy się temu, jak wygląda *zbiór* k kamieni najbliższych i -temu kamieniowi (remisy rozstrzygamy zgodnie z regułą skrajnie lewego). Już w Metodzie 1c zauważyliśmy, że jest to przedział, złożony z pewnej liczby kamieni położonych na lewo od i -tego oraz pewnej liczby kamieni leżących na prawo od i -tego. Oznaczmy ten przedział, wraz z samym i -tym kamieniem, przez $I[i] = [a..a+k]$.

Aby efektywnie wyznaczać przedziały $I[i]$, zastanowimy się, jaka jest zależność pomiędzy $I[i-1]$ a $I[i]$. Zauważmy, że jest to także pewne novum w stosunku do dotychczasowych podejść, w których każdy kamień rozpatrywaliśmy osobno. Okazuje się, że zachodzi następujący, całkiem intuicyjny fakt.

Fakt 1. *Jeśli $I[i-1] = [a..a+k]$ oraz $I[i] = [b..b+k]$, to $a \leq b$.*

Dowód: Załóżmy nie wprost, że $b < a$. Wówczas mamy $(b+k+1) \in I[i-1]$, ale $(b+k+1) \notin I[i]$. Korzystając z tego spostrzeżenia, otrzymujemy:

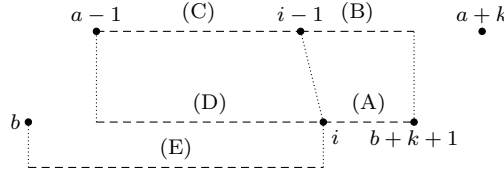
$$|p_{b+k+1} - p_i| \stackrel{(1)}{<} |p_{b+k+1} - p_{i-1}| \stackrel{(2)}{<} |p_{a-1} - p_{i-1}| \stackrel{(3)}{<} |p_{a-1} - p_i| \stackrel{(4)}{\leq} |p_b - p_i|.$$

Powyższe nierówności uzasadniamy następująco:

- (1) Ponieważ $i-1 < i < b+k+1$.
- (2) Ponieważ $(b+k+1) \in I[i-1]$, ale $(a-1) \notin I[i-1]$.
- (3) Ponieważ $a-1 < i-1 < i$.
- (4) Ponieważ $b < a$.

Graficzne przedstawienie tego ciągu nierówności, przy oznaczeniu kolejnych z powyższych wartości bezwzględnych różnic przez (A), (B), (C), (D), (E), przedstawia rys. 1.

Aby zakończyć dowód, wystarczy zauważyć, że uzyskany ciąg nierówności stanowi sprzeczność z faktem, iż $b \in I[i]$, ale $(b+k+1) \notin I[i]$. ■



Rys. 1: Ilustracja ciągu nierówności: $(A) \stackrel{(1)}{<} (B) \stackrel{(2)}{<} (C) \stackrel{(3)}{<} (D) \stackrel{(4)}{\leq} (E)$.

Musimy jeszcze odpowiedzieć na dwa pytania.

1. Jak wykorzystać Fakt 1 do efektywnego wyznaczania przedziałów $I[i]$? W tym celu każdorazowo zaczynamy od $I[i] = I[i - 1]$, po czym przesuwamy ten przedział o jeden w prawo, dopóki jest to wskazane. Łatwo widać, że przedział $[a \dots a + k]$ należy zamienić na $[a + 1 \dots a + k + 1]$, jeżeli $(a + k + 1)$ -szy kamień jest położony bliżej i -tego niż znajdujący się aktualnie w przedziale kamień a -ty, czyli:

$$p_{a+k+1} - p_i < p_i - p_a.$$

2. Po co nam przedziały $I[i]$, czyli jak za ich pomocą obliczać wartości $f[i]$? Czytelnik zaznajomiony z poprzednimi metodami szybko dostrzeże, że $f[i]$ odpowiada jednemu z końców przedziału $I[i]$. Jeżeli odległości kamieni odpowiadających końcom tego przedziału od kamienia i -tego są różne, to $f[i]$ uzyskujemy, biorąc dalszy z nich. W przeciwnym przypadku, ze względu na kryterium rozstrzygania remisów z treści zadania, jako wynik przyjmujemy kamień skrajnie lewy. Uzasadnienie poprawności tego spostrzeżenia pozostawiamy Czytelnikowi (wbrew pozorom, na ewentualne remisy należy zwrócić uwagę w obydwu przypadkach).

Algorytm 1d otrzymujemy jako bezpośrednią konsekwencję odpowiedzi na powyższe pytania, patrz implementacja poniżej. Na pierwszy rzut oka niepokoić może jego złożoność czasowa: mamy dwie zagnieżdżone pętle, z których każda wykonuje co najwyżej n obrotów. Nietrudno jednak zauważyć, że łączna liczba obrotów tych pętli będzie liniowa względem n , jako że każdy obrót pętli **while** powoduje zwiększenie wartości zmiennej a o jeden, a zmienna ta przyjmuje wartości z przedziału $[1, n - k]$. To rozumowanie, będące bardzo prostym przypadkiem *analizy kosztu zamortyzowanego* (patrz np. książka [21]), pokazuje, że złożoność czasowa poniższego algorytmu to $O(n)$. Dodajmy dla ścisłości, że złożoność pamięciowa tego algorytmu, a także wszystkich wcześniej zaprezentowanych, to $O(n)$.

1: Algorytm 1d

```

2:   $a := 1$ ;
3:   $f[1] := k + 1$ ;
4:  for  $i := 2$  to  $n$  do begin
5:      while  $(a + k + 1 \leq n)$  and  $(p_{a+k+1} - p_i < p_i - p_a)$  do
6:           $a := a + 1$ ;
7:      if  $p_i - p_a \geq p_{a+k} - p_i$  then  $f[i] := a$ 
8:      else  $f[i] := a + k$ ;
9:  end
```

```
10:   return f;
```

Porównując Algorytm 1d z mniej efektywnymi metodami, otrzymujemy kolejne potwierdzenie częstego zjawiska, że najefektywniejszy algorytm dla danego problemu cechuje się jednocześnie najprostszą implementacją. Co bynajmniej nie oznacza, że jest najprostszy do wymyślenia!

Faza II

W poprzednich sekcjach przedstawiliśmy kilka różnych algorytmów pozwalających obliczyć $f[i]$ dla $i = 1, 2, \dots, n$, która to funkcja reprezentuje miejsca docelowe pojedynczych skoków żabki z poszczególnych kamieni. Pod koniec udało nam się już uzyskać całkiem efektywne rozwiązania. Przyszła pora, aby obliczyć miejsca docelowe po seriach skoków długości m , czyli wartości $r[i] := f^m[i]$ dla $i = 1, 2, \dots, n$.

Metoda 2a: złożoność czasowa $O(n \cdot m)$

Zacznijmy od najprostszego możliwego algorytmu: wartość $f^m[i]$ możemy obliczyć wprost z definicji (2). Złożoność czasowa takiego podejścia to ewidentnie $\Theta(n \cdot m)$ — rzut oka na ograniczenia z zadania pokazuje, że jest to metoda dalece niewystarczająca.

Metoda 2b: złożoność czasowa $O(n^2)$

Przyjrzyjmy się sekwencji kolejnych wartości postaci:

$$i, f[i], f[f[i]], f[f[f[i]]], \dots$$

Czy można w tym ciągu wychwycić jakąś regularność, która mogłaby pozwolić na szybsze obliczenie $f^m[i]$?

Otóż tak, mianowicie z zasady szufladkowej Dirichleta wynika, że wśród pierwszych $n+1$ wartości $f^j[i]$ ($j = 1, 2, \dots$) jakaś liczba musi się powtórzyć, gdyż wszystkie te liczby są z zakresu $1..n$. Niech p i q wskazują na pierwsze takie powtórzenie (czyli q najmniejsze możliwe). Wówczas:

$$f^p[i] = f^q[i], \quad f^{p+1}[i] = f^{q+1}[i], \quad f^{p+2}[i] = f^{q+2}[i], \dots$$

czyli od q -tego elementu fragment $f^p[i], f^{p+1}[i], \dots, f^{q-1}[i]$ będzie powtarzał się w nieskończoność. To daje prostą receptę na wyznaczenie $f^m[i]$. Znajdujemy wartości p oraz q ; jeżeli $m < q$ to przy okazji obliczyliśmy także $f^m[i]$, a w przeciwnym razie możemy odczytać żadaną wartość na podstawie $(m - q) \bmod (q - p)$, czyli traktując m modulo długość cyklu.

Poniższy pseudokod przedstawia implementację tego podejścia w złożoności czasowej $O(n^2)$. Podobnie jak w metodach z Fazy I, wykorzystujemy w nim tablicę indeksowaną od jedynki, do której możemy dokładać elementy na koniec (zmienna t). Łącząc pomysły z Metod 2a oraz 2b, można dokonać kosmetycznej poprawki złożoności czasowej do $O(n \cdot \min(n, m))$, co pozostawiamy Czytelnikowi do przemyślenia.


```

1: Algorytm 2b
2:   for  $i := 1$  to  $n$  do begin
3:     for  $j := 1$  to  $n$  do  $c[j] := -1$ ;
4:      $j := i$ ;  $q := 0$ ;
5:      $t := \emptyset$ ;
6:     while  $(c[j] = -1)$  and  $(q < m)$  do begin
7:        $t.insert(j)$ ;
8:        $c[j] := q$ ;
9:        $j := f[j]$ ;  $q := q + 1$ ;
10:    end
11:    if  $q = m$  then  $r[i] := j$ 
12:    else begin
13:       $p := c[j]$ ;
14:       $r[i] := t[p + ((m - q) \bmod (q - p)) + 1]$ ;
15:    end
16:  end
17:  return  $r$ ;

```

Metoda 2c: złożoność czasowa $O(n \log m)$

Redukcja początkowej złożoności czasowej $O(n \cdot m)$ do złożoności czasowej $O(n \log m)$ ma charakter strukturalny. Potraktujmy f jako funkcję, $f : \{1, 2, \dots, n\} \rightarrow \{1, 2, \dots, n\}$. Interesuje nas m -krotne złożenie tej funkcji, czyli f^m . Tę wartość możemy obliczyć za pomocą szybkiego potęgowania binarnego, np. korzystając ze wzorów:

$$f^{2k+1} = f^{2k} \circ f, \quad f^{2k} = (f^k)^2.$$

Poniżej implementacja korzystająca z tego samego podejścia, ale nierekurencyjna. Warto zwrócić uwagę na to, że jej złożoność pamięciowa to $O(n)$ — przy koszcie pamięciowym rzędu $\Theta(n \log m)$ moglibyśmy nie zmieścić się w limicie pamięciowym 128 MB.

```

1: Algorytm 2c
2:   { Oblicza złożenie  $g \circ h$  funkcji reprezentowanych przez  $n$ -elementowe }
3:   { tablice  $g$  i  $h$ , wynik znajduje się w tablicy  $w$ . }
4:   function zlozenie( $g, h$ )
5:   begin
6:     for  $i := 1$  to  $n$  do  $w[i] := g[h[i]]$ ;
7:     return  $w$ ;
8:   end
9:
10:   $g := f$ ; { tablica  $g$  będzie przechowywać kolejne potęgi  $f^{2^a}$  }
11:  for  $i := 1$  to  $n$  do  $r[i] := i$ ; { funkcja identycznościowa }
12:  while  $m > 0$  do begin
13:    if  $m \bmod 2 = 1$  then  $r := zlozenie(r, g)$ ;
14:     $m := m \div 2$ ;

```

```

15:      $g := \text{zlozenie}(g, g);$ 
16: end
17: return  $r$ ;

```

Metoda 2d: złożoność czasowa $O(n)$

Patrząc na ograniczenia z zadania ($n \leq 10^6$, $m \leq 10^{18}$), można zaryzykować hipotezę, że złożoność czasowa i pamięciowa Algorytmu 2c jest wystarczająca. I rzeczywiście, na zawodach rozwiązania korzystające z tego podejścia (oraz Metody 1d) uzyskiwały maksymalną punktację. Pomimo tego musimy wspomnieć o tym, że również Fazę II można wykonać w optymalnej złożoności czasowej i pamięciowej $O(n)$, i taki algorytm został zastosowany w rozwiązaniu wzorcowym. Niestety algorytm ten jest istotnie bardziej skomplikowany od Algorytmu 2c, dlatego też opisujemy go w sposób skrócony. Jest on w pewnym sensie usprawnieniem Metody 2b.

Kluczowym pomysłem jest grafowa interpretacja tablicy (funkcji) f . Niech zbiorem wierzchołków grafu skierowanego $G = (V, E)$ będzie $V = \{1, 2, \dots, n\}$, natomiast krawędzie G niech będą indukowane przez wartości funkcji f , tzn.:

$$E = \{(i, f[i]) : i \in V\}.$$

Ilustracja takiego grafu znajduje się już w przykładzie w treści zadania. Aby teraz obliczyć $f^m[i]$, musimy odpowiedzieć na pytanie, jaki wierzchołek leży w grafie G na końcu ścieżki o długości m prowadzącej z wierzchołka i .

Nie bez znaczenia jest tutaj szczególna własność grafu G : z każdego wierzchołka wychodzi dokładnie jedna krawędź. Tego typu grafy niejednokrotnie pojawiały się już na zawodach Olimpiady Informatycznej, ostatnio w zadaniach *Mafia* z XV Olimpiady [15], *Skarbonki* z XII Olimpiady [12] oraz *Szpiedzy* z XI Olimpiady [11]. Z tego względu pomijamy dowód faktu, że G ma następującą, specyficzną strukturę: każda jego słabo spójna składowa¹ jest cyklem, do którego doczepiona jest pewna liczba drzew skierowanych (potencjalnie zero). Dokładniej, każde takie drzewo jest skierowane od liści do korzenia, przy czym korzeń jest jednym z wierzchołków cyklu.

Całe rozwiązanie Fazy II sprowadza się do podziału grafu na opisane cykle z podoczeknianymi drzewami i rozpatrzeniu osobno jednych i drugich. Oto kolejne kroki tego rozwiązania:

1. Znajdujemy wszystkie cykle w G , stosując algorytm podobny do Algorytmu 2b.
2. W każdym cyklu (reprezentowanym w tablicy, czyli z dostępem swobodnym do elementów²) dla każdego wierzchołka i wyznaczamy $f^m[i]$, biorąc modulo długość cyklu.
3. Usuujemy krawędzie cykli z grafu.
4. Odwracamy wszystkie pozostałe krawędzie grafu, otrzymując nowy graf $G' = (V, E')$.

¹Słabo spójna składowa w grafie skierowanym to zbiór wierzchołków należących do jednej spójnej składowej w grafie po usunięciu skierowań krawędzi.

²Można skorzystać z tablic dynamicznych (patrz np. typ `vector` w języku C++), można także tablice odpowiadające wszystkim cyklom umieścić kolejno w jednej, dużej tablicy.

5. Z każdego wierzchołka należącego do jakiegokolwiek cyklu w G uruchamiamy przeszukiwanie w głąb (DFS³). W trakcie przeszukiwania w pomocniczej tablicy t przechowujemy wierzchołki ze znajdujących się na stosie wywołań rekurencyjnych. Na podstawie zawartości tej tablicy odpowiadamy na zapytania o $f^m[i]$.

Ostatni z powyższych punktów wymaga dodatkowego wyjaśnienia, które można znaleźć w poniższym pseudokodzie. Korzystamy w nim z pomocniczej funkcji $w_cyklu(i, p)$, która zwraca numer wierzchołka w cyklu zawierającym wierzchołek i , oddalonego o p krawędzi od i . Dodatkowo, $t.pop_back()$ oznacza usunięcie ostatniego elementu z tablicy t .

```

1: Algorytm 2d, końcowe przeszukiwanie.
2:    $t := \emptyset$ ;
3:   procedure dfs( $i$ )
4:   begin
5:     if  $size(t) \geq m$  then  $r[i] := t[size(t) - m + 1]$ 
6:     else  $r[i] := w\_cyklu(t[1], m - size(t))$ ;
7:      $t.insert(i)$ ;
8:     foreach  $(i, j) \in E'$  do dfs( $j$ );
9:      $t.pop\_back()$ ;
10:  end
```

Widzimy, że złożoność czasowa i pamięciowa każdego z powyższych kroków 1-5, a zatem także całego rozwiązania, zależy liniowo od rozmiaru grafu G , czyli jest rzędu $O(n)$.

Rozwiązania

Najefektywniejsze z opisanych rozwiązań poszczególnych faz, czyli Metody 1d i 2d, składają się na rozwiązanie wzorcowe, o złożoności czasowej $O(n)$, zaimplementowane w plikach `zab.cpp`, `zab0.pas` oraz `zab1.cpp`. Jak już wspominaliśmy, jeszcze jedna kombinacja, a mianowicie połączenie Metod 1d oraz 2c, o łącznej złożoności czasowej $O(n \log m)$, uzyskiwała maksymalną punktację. Jej implementacje można znaleźć w plikach `zabs43.cpp` oraz `zabs430.pas`. Poza tym mamy jeszcze 14 innych możliwych kombinacji par metod, z których każda daje jakieś rozwiązanie mniej efektywne. Implementacje wszystkich tych rozwiązań można znaleźć w materiałach do zadania. W zależności od złożoności czasowej uzyskiwały one na zawodach od 10 do około 60 punktów.

Wśród rozwiązań niepoprawnych warto wspomnieć o rozwiązaniu, które błędnie rozstrzyga remisy (`zabb0.cpp`, 0 punktów), oraz o rozwiązaniu nieużywającym zmiennych całkowitych 64-bitowych (`zabb1.cpp`, 40 punktów).

Testy

Wśród przygotowanych testów wyróżniamy kilka kategorii:

³Patrz np. książka [21].

- *test losowy* — pozycje kamieni losujemy z rozkładem jednostajnym na pewnym przedziale,
- *długa ścieżka* — funkcja f odpowiada grafowi, w którym jest jeden cykl długości 2 oraz jedna długa ścieżka prowadząca do tego cyklu,
- *długa ścieżka z dowiązaniem* — funkcja f odpowiada grafowi, w którym jest jeden cykl długości 2 oraz jedna długa ścieżka prowadząca do tego cyklu, a do każdego wierzchołka na ścieżce dochodzi ścieżka długości 1,
- *długi cykl* — funkcja f odpowiada grafowi, w którym wszystkie wierzchołki poza dwoma należą do jednego długiego cyklu.

W poniższej tabeli znajdują się opisy testów wykorzystanych na zawodach.

Nazwa	n	k	m	Opis
<i>zab1a.in</i>	2	1	1	przypadek brzegowy
<i>zab1b.in</i>	2	1	1 000 000	przypadek brzegowy
<i>zab1c.in</i>	3	2	1	przypadek brzegowy
<i>zab1d.in</i>	100	2	20	długa ścieżka z dowiązaniem
<i>zab2a.in</i>	2 000	3	904 194	test losowy
<i>zab2b.in</i>	1 500	1	8194	długa ścieżka
<i>zab2c.in</i>	804	3	331097	długi cykl
<i>zab2d.in</i>	800	2	200	długa ścieżka z dowiązaniem
<i>zab3a.in</i>	4 000	20	48 010	test losowy
<i>zab3b.in</i>	4 000	1	667 379	długa ścieżka
<i>zab3c.in</i>	2 832	3	759 352	długi cykl
<i>zab3d.in</i>	4 000	2	100	długa ścieżka z dowiązaniem
<i>zab4a.in</i>	10 000	12	858 448	test losowy
<i>zab4b.in</i>	10 000	1	2 940	długa ścieżka
<i>zab4c.in</i>	5 660	3	684 782	długi cykl
<i>zab4d.in</i>	10 000	2	200	długa ścieżka z dowiązaniem
<i>zab5a.in</i>	20 000	17	115 432	test losowy
<i>zab5b.in</i>	20 000	19 999	976 475	test losowy
<i>zab5c.in</i>	20 000	1	9 767	długa ścieżka
<i>zab5d.in</i>	20 000	2	5 000	długa ścieżka z dowiązaniem
<i>zab6a.in</i>	6 000	7	824 435	test losowy
<i>zab6b.in</i>	80 000	79 999	399 963	test losowy
<i>zab6c.in</i>	80 000	1	39 231	długa ścieżka
<i>zab6d.in</i>	80 000	2	20 000	długa ścieżka z dowiązaniem

Nazwa	n	k	m	Opis
<i>zab7a.in</i>	7 000	1	$\approx 6 \cdot 10^{17}$	test losowy
<i>zab7b.in</i>	200 000	199 999	$\approx 3 \cdot 10^{17}$	test losowy
<i>zab7c.in</i>	300 000	1	94 893	długa ścieżka
<i>zab7d.in</i>	300 000	2	60 000	długa ścieżka z dowiązaniem
<i>zab8a.in</i>	8 000	7	$\approx 3 \cdot 10^{17}$	test losowy
<i>zab8b.in</i>	400 000	399 999	$\approx 8 \cdot 10^{17}$	test losowy
<i>zab8c.in</i>	500 000	1	253 543	długa ścieżka
<i>zab8d.in</i>	600 000	2	149 000	długa ścieżka z dowiązaniem
<i>zab9a.in</i>	9 000	3	$\approx 5 \cdot 10^{17}$	test losowy
<i>zab9b.in</i>	700 000	538 348	10^{18}	test losowy
<i>zab9c.in</i>	834 546	1	377 651	długa ścieżka
<i>zab9d.in</i>	1 000 000	2	150 000	długa ścieżka z dowiązaniem
<i>zab10a.in</i>	10 000	8	$\approx 4 \cdot 10^{17}$	test losowy
<i>zab10b.in</i>	900 000	831 505	10^{18}	test losowy
<i>zab10c.in</i>	1 000 000	1	498 533	długa ścieżka
<i>zab10d.in</i>	1 000 000	2	400 000	długa ścieżka z dowiązaniem

